

УДК 551.465

ВОЛНОВЫЕ ПОГРАНИЧНЫЕ СЛОИ В УСТОЙЧИВО-НЕЙТРАЛЬНО СТРАТИФИЦИРОВАННОМ ОКЕАНЕ

© 2019 г. Г. М. Резник

Институт океанологии им. П. П. Ширшова РАН, Москва, Россия
e-mail: greznikmd@yahoo.com

Поступила в редакцию 19.06.2017 г.

Принята к публикации 08.02.2018 г.

Развитая в [7] теория волновых пограничных слоев обобщается на случай устойчиво-стратифицированного океана, состоящего из верхнего однородного и нижнего стратифицированного слоев. В такой конфигурации вдобавок к погранслоям у дна и поверхности возникает волновой пограничный слой в окрестности поверхности раздела в нижней стратифицированной части бассейна. Каждый такой слой представляет собой узкую область, характеризующуюся резкими растущими со временем вертикальными градиентами плавучести и горизонтальной скорости. Как и в [7], погранслоем у поверхности раздела возникает как результат свободной линейной волновой эволюции начальных полей достаточно общего вида. Построены точное решение и приближенное асимптотическое решение, описывающее долговременную эволюцию системы, и показано, что асимптотическое решение неплохо приближает точное уже на сравнительно небольших временах.

Ключевые слова: волновые пограничные слои, внутренние волны, устойчиво-нейтральная стратификация

DOI: 10.31857/S0030-1574592201–207

ВВЕДЕНИЕ

До работ [7, 11] волновые пограничные слои в геофизических задачах рассматривались при описании эволюции волн Россби в бассейнах, ограниченных боковыми границами [1–3, 8–10]. В этих задачах пограничный слой возникает около западной границы и представляет собой узкую область, ширина которой стремится с ростом времени к нулю, а поперечные градиенты некоторых характеристик — к бесконечности. В работе [7] мы показали, что похожие пограничные слои существуют в невращающемся слое стратифицированной жидкости, связаны они с внутренними волнами и сосредоточены у дна и/или поверхности слоя. Здесь мы продолжаем исследование волновых пограничных слоев применительно к т.н. устойчиво-стратифицированному океану, состоящему из верхней однородной и нижней стратифицированной жидкостей; плотность и остальные поля остаются непрерывными на поверхности раздела между жидкостями. Оказывается, в этом случае (кроме уже рассмотренных погранслоев у дна и поверхности) волновой пограничный слой возникает в окрестности поверхности раздела в нижней стратифицированной части бассейна. В разделе 2 дается постановка задачи, в разделе 3 получается ее точное решение в виде

разложений по вертикальным волновым модам. В разделе 4 находится асимптотическое решение задачи на больших временах (в «духе» [2, 3, 7]), а в разделе 5 это решение сравнивается с точным решением, полученным в разделе 3. Раздел 6 содержит обсуждение результатов.

ПОСТАНОВКА ЗАДАЧИ

Мы рассматриваем двухслойный океан постоянной глубины H , ограниченный твердым дном и поверхностью (рис. 1). Плотность воды ρ , будучи непрерывной, постоянна, $\rho = \rho_0$, в верхнем слое толщиной $h - \eta$ и равна $\rho = \rho_0 + \rho_s(z) + \rho'(x, y, z, t)$ в нижнем слое толщиной $H - h + \eta$, где h — постоянная средняя толщина однород-

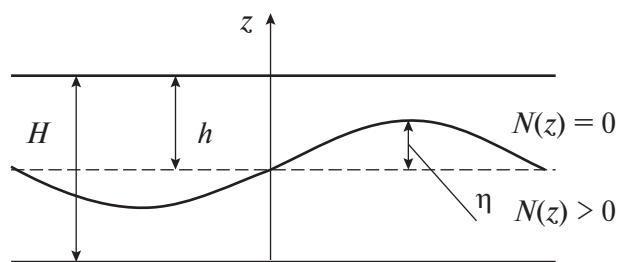


Рис. 1. Схематическое изображение устойчиво-нейтрально стратифицированного океана.

ного слоя и $\eta = \eta(x, y, t)$ — отклонение границы раздела между слоями. Сумма $\rho_0 + \rho_s(z)$ определяет равновесный профиль плотности в нижнем слое, отклонение ρ' предполагается малым, $\rho' \ll \rho_0$. В линейном приближении уравнения, определяющие эволюцию такой системы, записываются в виде:

$$\mathbf{u}_t = -\nabla p / \rho_0, \quad \nabla \cdot \mathbf{u} = 0; \quad 0 \geq z \geq -h, \quad (1a, б)$$

$$\mathbf{u}_t + \mathbf{e}_z b = -\nabla p / \rho_0, \quad b_t - N^2 w = 0, \quad (2a, б, в)$$

$$\nabla \cdot \mathbf{u} = 0; \quad -h \geq z \geq -H.$$

Здесь $\mathbf{u} = (u, v, w)$ — вектор скорости; u, v, w — компоненты скорости вдоль осей x, y, z , направленных вдоль параллели, меридиана и вертикально вверх соответственно; ρ' и p — отклонения плотности и давления от их гидростатических распределений; $b = g\rho' / \rho_0$ — плавучесть, $N = \sqrt{-g\rho_{sz} / \rho_0}$ — частота плавучести; $\mathbf{e}_x, \mathbf{e}_y, \mathbf{e}_z$ — орты соответствующих координатных осей; g — ускорение свободного падения.

Решения системы (1), (2) должны удовлетворять условиям непротекания на дне и поверхности:

$$w|_{z=0, -H} = 0, \quad (3a)$$

и непрерывности на границе раздела:

$$[u, v, w, p]_{z=-h} = 0, \quad (3б)$$

где $[a]_{z=-h} = a|_{z=-h+0} - a|_{z=-h-0}$. Кроме того, должны выполняться начальные условия

$$(u, v, b)_{t=0} = (u_I, v_I, b_I)(x, y, z), \quad (3в, г)$$

$$w_I = -\int_{-H}^z (\partial_x u_I + \partial_y v_I) dz.$$

Здесь и ниже нижний индекс «I» обозначает начальные поля, верхним индексом «+» («-») будет обозначаться верхний (нижний) слой.

Сведем задачу (1)–(3) к задаче для вертикальной скорости. Применяя операцию дивергенции к (1a) и используя (1б), находим:

$$\Delta p^+ = \Delta u_t^+ = \Delta v_t^+ = \Delta w_t^+ = 0, \quad (4)$$

откуда

$$\Delta u^+ = \Delta u_t^+, \quad \Delta v^+ = \Delta v_t^+, \quad \Delta w^+ = \Delta w_t^+. \quad (5a, б, в)$$

Здесь $\Delta = \partial_{xx} + \partial_{yy} + \partial_{zz}$. Представим все величины в форме Фурье-интегралов вида:

$$w = \int \tilde{w}(\kappa, z, t) e^{i(\kappa x + l y)} d\kappa, \quad \kappa = (\kappa, l); \quad (6)$$

здесь и ниже «тильда» обозначает соответствующую Фурье-амплитуду.

Из (5в), (3a) получаем для \tilde{w}^+ :

$$\tilde{w}^+ - \tilde{w}_I^+ = A \text{sh} \kappa z, \quad (\tilde{w}^+ - \tilde{w}_I^+)_z = \kappa A \text{ch} \kappa z, \quad (7)$$

где A — некоторая постоянная амплитуда. Из (7) находим следующее соотношение на поверхности раздела:

$$(\tilde{w}^+ + \delta_0 \tilde{w}_z^+)_{z=-h} = (\tilde{w}_I^+ + \delta_0 \tilde{w}_{Iz}^+)_{z=-h}, \quad (8a, б)$$

$$\delta_0 = \text{th} \kappa h / \kappa.$$

Уравнение для вертикальной скорости в нижнем стратифицированном слое получаем из (2) (см., например, [5]):

$$\Delta w_t^- + N^2 \Delta_2 w^- = 0, \quad (9)$$

где $\Delta_2 = \partial_{xx} + \partial_{yy}$. Далее в силу (3a, б) имеем:

$$w^-|_{z=-H} = 0, \quad [w]_{z=-h} = [w_z]_{z=-h} = 0. \quad (10a, б)$$

В терминах Фурье-амплитуд уравнение (9) и граничные условия для \tilde{w}^- записываются с учетом (8), (10б) как:

$$(\tilde{w}_{zz}^- - \kappa^2 \tilde{w}^-)_t - \kappa^2 N^2 \tilde{w}^- = 0, \quad (11)$$

$$\tilde{w}^-|_{z=-H} = 0, \quad (12a, б)$$

$$(\tilde{w}^- + \delta_0 \tilde{w}_z^-)_{z=-h} = (\tilde{w}_I^- + \delta_0 \tilde{w}_{Iz}^-)_{z=-h}.$$

Должны также удовлетворяться начальные условия:

$$(\tilde{w}^-, \tilde{w}_t^-)|_{t=0} = (\tilde{w}_I^-, \tilde{w}_{I,t}^-). \quad (13)$$

Начальное поле w_I известно из (3г), а поле \dot{w}_I вычисляется по известной начальной плавучести b_I (см., например, [7]). В дальнейшем для простоты будем считать, что

$$\tilde{w}_I = 0; \quad (14)$$

это получается при $\rho_I = 0$.

Из (11) легко следует, что среднее по времени поле

$$\bar{\tilde{w}}^- = \lim_{T_0 \rightarrow \infty} \frac{1}{T_0} \int_0^{T_0} \tilde{w}^- dt \quad (15)$$

(ср. с [7]) тождественно равно нулю, $\bar{\tilde{w}}^- = 0$, что, очевидно, противоречит граничному условию (12б) при

$$(\tilde{w}_I + \delta_0 \tilde{w}_{Iz})_{z=-h} \neq 0. \quad (16)$$

Специальный случай $(\tilde{w}_I + \delta_0 \tilde{w}_{Iz})_{z=-h} = 0$ мы рассматривать не будем и в дальнейшем полагаем условие (16) выполненным. Аналогично [7], указанная несогласованность приводит к возникновению у границы раздела волнового пограничного слоя, в котором происходит переход от нестационарного поля $\tilde{w}^- + \delta_0 \tilde{w}_z^-$ внутри области с нулевым средним по времени к не зависящему от времени граничному значению $(\tilde{w}_I + \delta_0 \tilde{w}_{Iz})_{z=-h}$. Цель настоящей работы состоит в исследовании этого пограничного слоя.

РАЗЛОЖЕНИЯ ПО ВЕРТИКАЛЬНЫМ ВОЛНОВЫМ МОДАМ

В дальнейшем мы для простоты положим $N = N_0 = \text{const}$ и перейдем к безразмерным пе-

ременным, используя масштабы времени $T = 1/N_0$, скорости U , давления $P = \rho_0 UN_0 L$, плавучести $B = UN_0$, горизонтальный и вертикальный масштабы L и H , $L = H$. В безразмерной форме уравнения (1)–(3) остаются прежними, только ρ_0 , N , H заменяются на 1.

Представим \tilde{w}^- в виде:

$$\tilde{w}^- = \tilde{w} + \tilde{w}_I^-; \quad (17)$$

для \tilde{w} с учетом (14) получаем:

$$(\tilde{w}_{zz} - \kappa^2 \tilde{w})_t - \kappa^2 \tilde{w} = \kappa^2 \tilde{w}_I^-, \quad (18)$$

$$(\tilde{w} + \delta_0 \tilde{w}_z)_{z=-h} = 0, \quad \tilde{w}|_{z=-1} = 0, \quad (19a, б, в)$$

$$\tilde{w}|_{t=0} = \tilde{w}_I|_{t=0} = 0.$$

Решение ищем в форме разложения по собственным колебаниям однородной системы (18), (19) вида:

$$W = \tilde{W}(k, l, z) \exp(-i\sigma t). \quad (20)$$

Для амплитуды \tilde{W} и частоты σ получаем следующую задачу Штурма-Лиувилля на собственные значения:

$$\begin{aligned} \tilde{W}_{zz} + \kappa^2(1/\sigma^2 - 1)\tilde{W} &= 0, \\ (\tilde{W} + \delta_0 \tilde{W}_z)_{z=-h} &= 0, \quad \tilde{W}|_{z=-1} = 0. \end{aligned} \quad (21a, б, в)$$

Решение этой задачи без труда находится:

$$\begin{aligned} \tilde{W} &= \tilde{W}_n = \sin[q_n(z+1)], \\ q_n &= \kappa \sqrt{1/\sigma_n^2 - 1}, \quad n=1, 2, \dots \end{aligned} \quad (22)$$

Параметр q_n определяется из условия (21б):

$$\text{tg}[q_n(1-h)] = -\delta_0 q_n, \quad n=1, 2, \dots \quad (23)$$

Зная q_n , можно найти частоту σ_n :

$$\sigma_n = \kappa / \sqrt{\kappa^2 + q_n^2}. \quad (24)$$

Функции \tilde{W}_n образуют полную ортогональную систему [6]; решение ищется в виде рядов:

$$\begin{aligned} \tilde{w} &= \sum_{n=1}^{\infty} \tilde{w}_n(k, l, t) \sin[q_n(z+1)], \\ \tilde{w}_I^- &= \sum_{n=1}^{\infty} \tilde{w}_{In}^-(k, l, t) \sin[q_n(z+1)]. \end{aligned} \quad (25a, б)$$

Здесь

$$(\tilde{w}_n, \tilde{w}_{In}^-) = a_n^{-1} \int_{-1}^{-h} (\tilde{w}, \tilde{w}_I^-) \sin[q_n(z+1)] dz, \quad (26a)$$

$$\begin{aligned} a_n &= \int_{-1}^{-h} \sin^2[q_n(z+1)] dz = \\ &= 0.5\{1 - h + \delta_0 \cos^2[q_n(1-h)]\}. \end{aligned} \quad (26b)$$

Подставляя (25) в (18), получаем с учетом (24) и начальных условий (19в):

$$\tilde{w}_n = -\tilde{w}_{In}^-(1 - \cos \sigma_n t), \quad (27)$$

т.е. решение задачи (18), (19) для \tilde{w}^- записывается в виде:

$$\tilde{w}^- = \tilde{w}_I^- - \sum_{n=1}^{\infty} \tilde{w}_{In}^-(1 - \cos \sigma_n t) \sin[q_n(z+1)]. \quad (28)$$

В силу (26), записанного в безразмерной форме, имеем для плавучести \tilde{b} :

$$\tilde{b} = \tilde{b}_I + \int_0^t \tilde{w}^- dt. \quad (29)$$

Из (28), (29) находим решение для плавучести в виде следующего ряда:

$$\tilde{b} = \tilde{b}_I + \tilde{w}_I^- t - \sum_{n=1}^{\infty} \tilde{w}_{In}^- \left(t - \frac{\sin \sigma_n t}{\sigma_n} \right) \sin[q_n(z+1)]. \quad (30)$$

Далее, используя (8) и непрерывность \tilde{w} , \tilde{w}_z на поверхности раздела $z = -h$, выразим вертикальную скорость и ее производную в верхнем слое через значение функции \tilde{w} на границе раздела:

$$\tilde{w}^+ = \tilde{w}_I^+ - \frac{\text{sh}\kappa z}{\text{sh}\kappa h} \tilde{w}|_{z=-h}, \quad \tilde{w}_z^+ = \tilde{w}_{Iz}^+ - \frac{\kappa \text{ch}\kappa z}{\text{sh}\kappa h} \tilde{w}|_{z=-h}. \quad (31a, б)$$

Здесь \tilde{w} дается разложением:

$$\tilde{w} = - \sum_{n=1}^{\infty} \tilde{w}_{In}^- (1 - \cos \sigma_n t) \sin[q_n(z+1)]. \quad (32)$$

Разложения (28), (30) и (31), (32) определяют решения для плавучести и вертикальной скорости. Поведение всех полей на больших временах сильно зависит от поведения коэффициентов разложения \tilde{w}_{In}^- при $n \rightarrow \infty$. Используя (23), нетрудно показать, что при условии (16) $\tilde{w}_{In}^- = O(n^{-1})$, $n \rightarrow \infty$. Можно поэтому ожидать, что «вес» высоких мод в указанных разложениях увеличивается с ростом времени, что приводит к усилению вертикальной изменчивости всех полей и возникновению нестационарных пограничных слоев у поверхности раздела и/или дна.

На рис. 2 на плоскости (z, t) изображены изолинии Фурье-компонент $\tilde{w}^-(z, t, k, l)$, $\tilde{w}_z^-(z, t, k, l)$, $\tilde{b}(z, t, k, l)$ при фиксированных k, l в нижнем стратифицированном слое для начальных условий:

$$\tilde{w}_I = \begin{cases} \tilde{w}_I^+ = (1 - 2/h)z - z^2/h^2, & 0 \geq z \geq -h \\ \tilde{w}_I^- = z + 1, & -h \geq z \geq -H \end{cases}, \quad (33)$$

$$\tilde{b}_I = \tilde{w}_I = 0.$$

Соответствующий коэффициент \tilde{w}_{In}^- дается выражением:

$$\tilde{w}_{In}^- = - \frac{2(1-h+\delta_0)}{q_n} \frac{\cos[q_n(1-h)]}{1-h+\delta_0 \cos^2[q_n(1-h)]}. \quad (34)$$

В этом случае $w_I = 0$ и плавучесть обращается в нуль на дне $z = -1$, поэтому погранслоем развивается только у поверхности раздела $z = -h$.

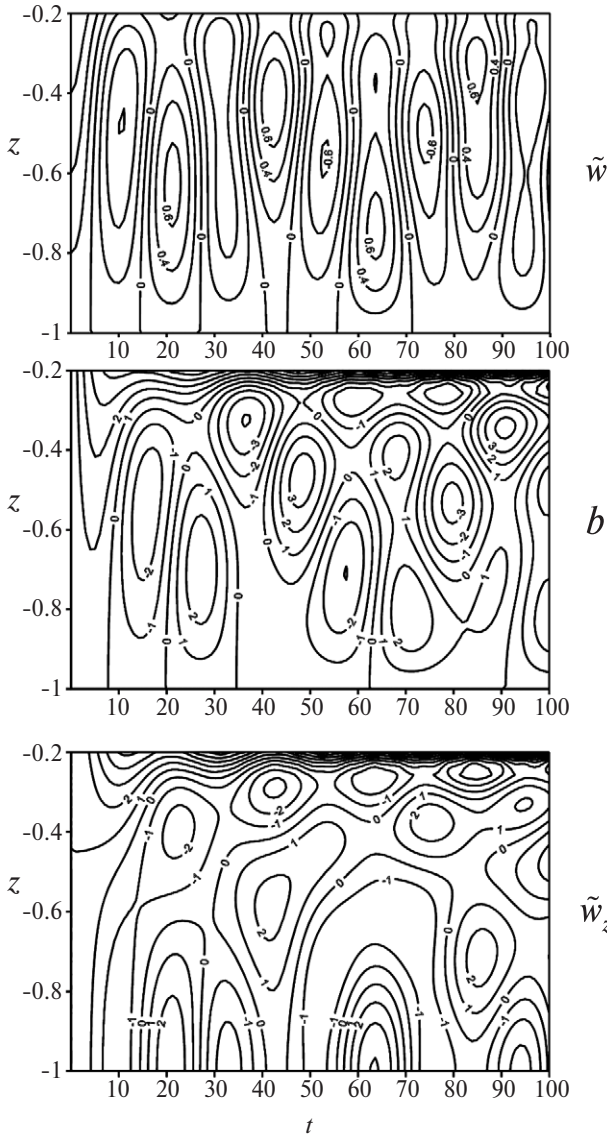


Рис. 2. Изолинии Фурье-амплитуд полей скорости и плавучести при фиксированных k, l . Интервалы между контурами полей $\tilde{w}^-, b, \tilde{w}_z^-$ равны 0,2, 1, 1 соответственно; $\kappa = 1$. Пунктирные изолинии соответствуют отрицательным значениям.

Погранслоем отсутствует в поле вертикальной скорости \tilde{w}^- , осциллирующем почти периодически при любом $z = \text{const}$. В поле плавучести \tilde{b} погранслоем представляет собой узкую область в окрестности $z = -h$, характеризующуюся резкими вертикальными градиентами \tilde{b} ; при этом с ростом времени толщина области уменьшается, а градиенты растут. Очень похожий пограничный слой развивается в поле производной \tilde{w}_z^- , пропорциональной Фурье-амплитуде горизонтальной скорости. Под погранслоями поля \tilde{b}, \tilde{w}_z^- колеблются во времени. В следующем раз-

деле дается асимптотическое описание полей в пограничных слоях.

ПОГРАНИЧНЫЙ СЛОЙ БЛИЗИ ПОВЕРХНОСТИ РАЗДЕЛА

Для изучения пограничного слоя мы (следуя [2, 3, 7]) вводим вместо w осредненную по времени вертикальную скорость \bar{w} :

$$\bar{w} = t^{-1} \int_0^t w dt, \quad w = (t\bar{w})_t. \quad (35a, б)$$

Важное свойство новой переменной \bar{w} состоит в том, что на больших временах вклад быстро осциллирующей части поля w в \bar{w} стремится к нулю, и в \bar{w} остается только медленно осциллирующий погранслой.

В терминах \bar{w} приведенная к безразмерному виду задача (5в), (9), (10) запишется как:

$$\Delta \bar{w}^+ = \Delta w_I^+, \quad (t \Delta \bar{w}^-)_t + t \Delta \bar{w}^- = \Delta \dot{w}_I^-, \quad (36a, б)$$

$$\bar{w}^+ \Big|_{z=0} = 0, \quad \bar{w}^- \Big|_{z=-1} = 0, \quad (37a, б)$$

$$\bar{w}^+ \Big|_{z=-h} = \bar{w}^- \Big|_{z=-h}, \quad \bar{w}_z^+ \Big|_{z=-h} = \bar{w}_z^- \Big|_{z=-h}. \quad (37в, г)$$

В пограничном слое в окрестности $z = -h$ при $z \leq -h$ функция \bar{w}^- должна стремиться к нулю при $t \rightarrow \infty$, поскольку среднее по времени поле (15) тождественно равно нулю, но производная $\bar{w}_z^- = O(1)$, чтобы обеспечить непрерывность касательной скорости на поверхности раздела. Решение нулевого порядка в пограничном слое ищем в виде (ср. [7]):

$$\bar{w}^- = D(x, y, \xi) / t, \quad \xi = -(z+h)t, \quad (38)$$

где ξ — растянутая координата погранслоя. Подставляя (38) в (36б) и пренебрегая малыми членами, получаем при $t \gg 1$:

$$\xi^2 D_{\xi\xi\xi\xi} + 4\xi D_{\xi\xi\xi} + 2D_{\xi\xi} + \bar{\Delta} D = \Delta \dot{w}_I^-(x, y, -h). \quad (39)$$

Представляя D в виде интеграла Фурье (6), находим с учетом (14) уравнение для Фурье-амплитуды \tilde{D} :

$$\xi^2 \tilde{D}_{\xi\xi\xi\xi} + 4\xi \tilde{D}_{\xi\xi\xi} + 2\tilde{D}_{\xi\xi} - \kappa^2 \tilde{D} = 0. \quad (40)$$

Граничное условие для \tilde{D} на границе раздела при $\xi = 0$ следует из условия (12б) и (38):

$$\tilde{D}_\xi \Big|_{\xi=0} = -\frac{1}{\delta_0} (\tilde{w}_I + \delta_0 \tilde{w}_{Iz})_{z=-h}. \quad (41)$$

Гладкое решение уравнения (40), удовлетворяющее условию (41) и затухающее при $\xi \rightarrow \infty$, дается формулой $\tilde{D} = C J_0(2\sqrt{\kappa\xi})$ [4], откуда находим:

$$\begin{aligned} \tilde{w}^- &= C J_0(2\sqrt{\kappa\xi}) / t, \\ C &= (\kappa\delta_0)^{-1} (\tilde{w}_I + \delta_0 \tilde{w}_{Iz})_{z=-h}. \end{aligned} \quad (42a, б)$$

Здесь и ниже J_n — функция Бесселя n -го порядка. Для производной \tilde{w}_z^- , определяющей горизонтальные скорости в погранслое, получаем:

$$\tilde{w}_z^- = \kappa C J_1(2\sqrt{\kappa\xi}) / \sqrt{\kappa\xi}. \quad (43)$$

Для определения осредненной по времени плавучести

$$\bar{b} = t^{-1} \int_0^t b dt \quad (44)$$

используем уравнение (2б), предполагая для простоты $b_I = 0$. После несложных преобразований находим из (2б), что $b = t\tilde{w}^-$, откуда

$$\tilde{b} = Ct^{-1} \int_0^t J_0(2\sqrt{\kappa\xi}) dt = CJ_1(2\sqrt{\kappa\xi}) / \sqrt{\kappa\xi}. \quad (45)$$

Из (42) видно, что погранслоевая вертикальная скорость мала, и именно поэтому погранслоевая структура не видна в поле \tilde{w}^- на рис. 2. Вместе с тем в силу (43), (45) соответствующие горизонтальные скорости и плавучесть порядка единицы быстро осциллируют по z , при этом их вертикальные градиенты растут пропорционально t . Толщина пограничного слоя уменьшается с ростом t пропорционально $1/t$. Отметим также, что асимптотические выражения для \tilde{w}_z^- и \tilde{b} различаются только коэффициентом κ и совпадают при $\kappa=1$. Это объясняет сильное подобие пограничных слоев в полях плавучести и горизонтальной скорости (\tilde{w}_z^-) на рис. 2.

СРАВНЕНИЕ АСИМПТОТИЧЕСКИХ И ТОЧНЫХ РЕШЕНИЙ

Для подтверждения справедливости асимптотик (42), (43), (45) и оценки скорости выхода решения на асимптотический режим были проведены численные эксперименты с начальными условиями (33).

Осредненные поля \tilde{w}^- , \tilde{w}_z^- , \tilde{b} в силу (28), (30) даются разложениями:

$$\tilde{w}^- = t^{-1} \int_0^t \tilde{w}^- dt = \tilde{w}_I^- - \sum_{n=1}^{\infty} \tilde{w}_{In}^- \left(1 - \frac{\sin \sigma_n t}{\sigma_n t} \right) \sin[q_n(z+1)], \quad (46a)$$

$$\tilde{w}_z^- = t^{-1} \int_0^t \tilde{w}_z^- dt = \tilde{w}_{Iz}^- - \sum_{n=1}^{\infty} q_n \tilde{w}_{In}^- \left(1 - \frac{\sin \sigma_n t}{\sigma_n t} \right) \cos[q_n(z+1)], \quad (46b)$$

$$\tilde{b} = t^{-1} \int_0^t \tilde{b} dt = \tilde{b}_I + t \left[\frac{\tilde{w}_I^-}{2} - \sum_{n=1}^{\infty} \tilde{w}_{In}^- \left(\frac{1}{2} - \frac{1 - \cos \sigma_n t}{\sigma_n^2 t^2} \right) \sin[q_n(z+1)] \right]. \quad (46в)$$

Соответственно, средние поля в однородном слое записываются в виде (см. выше (31), (32)):

$$\tilde{w}^+ = \tilde{w}_I^+ - \frac{\text{sh}\kappa z}{\text{sh}\kappa h} \tilde{w}^- \Big|_{z=-h}, \quad \tilde{w}_z^+ = \tilde{w}_{Iz}^+ - \frac{\kappa \text{ch}\kappa z}{\text{sh}\kappa h} \tilde{w}^- \Big|_{z=-h}, \quad (47a, б)$$

где $\tilde{w}^- \Big|_{z=-h}$ дается разложением:

$$\tilde{w}^- \Big|_{z=-h} = - \sum_{n=1}^{\infty} \tilde{w}_{In}^- \left(1 - \frac{\sin \sigma_n t}{\sigma_n t} \right) \sin[q_n(1-h)]. \quad (48)$$

Цель численных экспериментов — сравнить точные осредненные поля (46) с их асимптотическими представлениями (42), (43), (45) и поведением мгновенных полей (28), (30) и \tilde{w}_z^- . Результаты расчетов для $\kappa=1$ в различные моменты времени представлены на рис. 3. Пунктиром изображены профили мгновенных полей \tilde{b} , \tilde{w}_z^- , сплошными линиями — асимптотические (AS) и точные (AV) профили осредненных полей \tilde{b} , \tilde{w}_z^- . Асимптотические профили представлены в нижнем стратифицированном слое. Рисунки демонстрируют, что асимптотики (43), (45) неплохо согласуются с точными полями при $t=10$, мало отличаются от них при $t=50$ и практически неотличимы от точных осредненных полей при $t=100$ и далее. Видно, что осредненные поля действительно имеют погранслоевую структуру, все сильнее поджимаясь к границе раздела между слоями с течением времени и стремясь к нулю внутри области в соответствии с рассмотренным выше асимптотическим решением. Этот процесс сопровождается сильным ростом вертикальных градиентов плавучести и горизонтальной скорости (\tilde{u} , $\tilde{v} \sim \tilde{w}_z^-$) вблизи границы раздела. Мгновенные профили со временем не затухают и становятся все более и более изрезанными, причем максимальные вертикальные градиенты (еще более резкие, чем в осредненных полях) развиваются в окрестности границы раздела. Для сравнения на рис. 3в приведены мгновенные, осредненные и асимптотические профили вертикальной скорости (28), (31), (42a), в которых элементы погранслоевой структуры выражены очень слабо.

ОБСУЖДЕНИЕ РЕЗУЛЬТАТОВ

В [7] мы получили, что при линейном свободном развитии достаточно общих начальных полей в стратифицированном невращающемся слое жидкости на больших временах у поверхности и/или дна возникают узкие нестационарные (т.н. волновые) пограничные слои. При $t \rightarrow \infty$ толщина такого погранслоя стремится

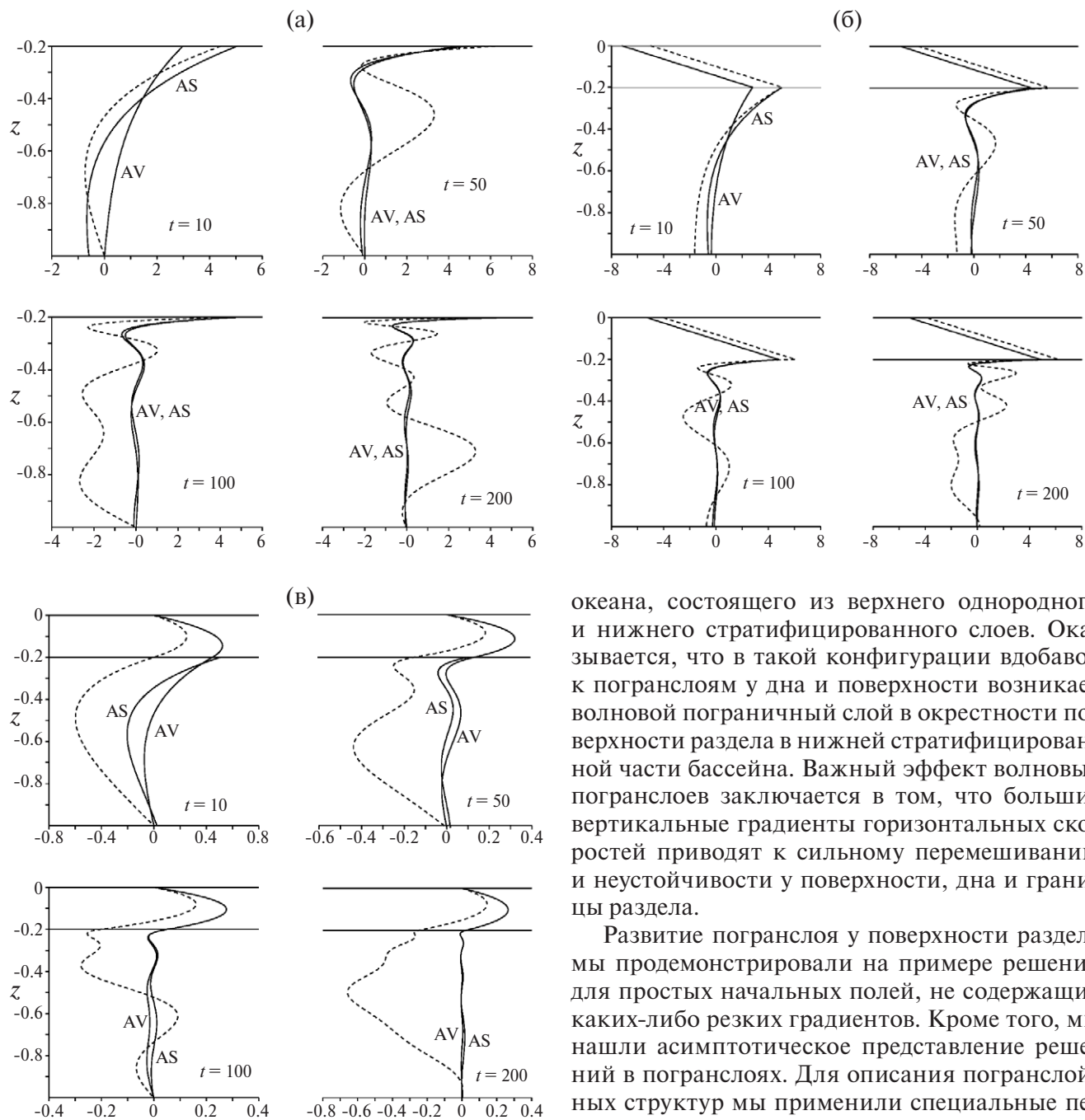


Рис. 3. Вертикальные профили Фурье-амплитуд физических полей в различные моменты времени. Мгновенные профили изображены пунктиром, сплошными линиями — асимптотические (AS) и точные (AV) профили осредненных полей; $N = \text{const}$, $\kappa = 1$. (а) — плавучесть b ; (б) — производная вертикальной скорости \tilde{w}_z ; (в) — вертикальная скорость \tilde{w} .

к нулю, а вертикальные градиенты плавучести и горизонтальной скорости — к бесконечности. В настоящей работе мы обобщили эту теорию на случай устойчиво-стратифицированного

океана, состоящего из верхнего однородного и нижнего стратифицированного слоев. Оказывается, что в такой конфигурации вдобавок к погранслоям у дна и поверхности возникает волновой пограничный слой в окрестности поверхности раздела в нижней стратифицированной части бассейна. Важный эффект волновых погранслоев заключается в том, что большие вертикальные градиенты горизонтальных скоростей приводят к сильному перемешиванию и неустойчивости у поверхности, дна и границы раздела.

Развитие погранслоя у поверхности раздела мы продемонстрировали на примере решения для простых начальных полей, не содержащих каких-либо резких градиентов. Кроме того, мы нашли асимптотическое представление решений в погранслоях. Для описания погранслойных структур мы применили специальные переменные, впервые введенные в [2, 3] для описания вынужденных волн Россби — поля, осредненные по промежутку времени $[0, t]$ для каждого момента t . Сопоставляя асимптотические решения на больших временах с точными разложениями по волновым модам, мы показали, что каждый такой пограничный слой состоит из бесконечного числа мод внутренних волн с большими вертикальными номерами $n \gg 1$. Именно поэтому мы назвали эти пограничные слои волновыми пограничными слоями.

Волновые пограничные слои в этой и других работах [2, 3, 7, 9, 11] возникают благодаря суще-

ствованию предельной точки в частотном спектре, когда частота волны стремится к конечному пределу при стремлении волнового числа к бесконечности. В нашем случае предельная частота равна нулю, а под волновым числом подразумевается вертикальное волновое число (горизонтальное волновое число фиксировано). Ключевой факт состоит в том, что фазовая и групповая скорости волн с большими волновыми числами здесь имеют разные знаки (похоже, это типичная ситуация в присутствии предельной точки). Можно сказать, что граница, колеблющаяся с предельной частотой, порождает очень короткие волны с фазовой скоростью, направленной от границы, и групповой скоростью, направленной к границе. Такие волновые пакеты не могут убежать далеко от границы и с течением времени формируют пограничный слой.

Источник финансирования. Работа выполнялась в рамках Госзадания (№ 0149-2018-0001). Анализ точного решения (разделы 1–3) выполнен при поддержке РФФ (проект № 14-50-00095), асимптотический анализ (разделы 4, 5) — при поддержке Минобрнауки РФ (проект № 14.W03.31.0006), численные эксперименты (в разделах 3, 5) — при поддержке РФФИ (проект № 17-05-00094-а).

СПИСОК ЛИТЕРАТУРЫ

1. Гилл А. Динамика атмосферы и океана. Т. 2. М.: Мир, 1986. 415 с.
2. Ильин А.М. Об асимптотике решения одной краевой задачи // Матем. заметки. 1970. Т. 8. № 3. С. 273–284.
3. Ильин А.М. О поведении решения одной краевой задачи при $t \rightarrow \infty$ // Матем. сборник. 1972. Т. 87(129). № 4. С. 529–553.
4. Камке Э. Справочник по обыкновенным дифференциальным уравнениям. М.: Наука, 1971. 576 с.
5. Миропольский Ю.З. Динамика внутренних гравитационных волн в океане. Л.: Гидрометеиздат, 1981. 302 с.
6. Морс Ф.М., Фешбах Г. Методы теоретической физики. Т. 1. М.: Изд-во иностр. литературы, 1958. 931 с.
7. Резник Г.М. Волновые пограничные слои в стратифицированной жидкости у поверхности и дна // Океанология. 2017. Т. 57. № 3. С. 381–388.
8. Anderson D.L.T., Gill A.E. Spin-up of a stratified ocean, with application to upwelling // Deep-Sea Res. 1975. V. 22. P. 583–596.
9. Kamenkovich V.M., Kamenkovich I.V. On the evolution of Rossby waves, generated by wind stress in a closed basin, incorporating total mass conservation // Dyn. Atm. Oceans. 1993. V. 18. P. 67–103.
10. Lighthill M.J. Dynamic response of the Indian ocean to onset of the southwest monsoon // Philos. Trans. R. Soc. London. Ser. A. 1969. V. 265. P. 45–92.
11. Reznik G.M. Linear dynamics of a stably-neutrally stratified ocean // J. Mar. Res. 2013. V. 71. № 4. P. 253–288.

WAVE BOUNDARY LAYERS IN A STABLY-NEUTRALLY STRATIFIED OCEAN

© 2019 G. M. Reznik

Shirshov Institute of Oceanology, Russian Academy of Sciences, Moscow, Russia
e-mail: greznikmd@yahoo.com

Received June 19, 2017

After revision February 08, 2018

The theory of wave boundary layers developed in [7], is generalized to the case of stably-neutrally stratified ocean consisting of upper homogeneous and lower stratified layers. In this configuration, in addition to the boundary layers near the ocean bottom and/or surface, a wave boundary layer develops near the interface between the layers in the lower stratified part of basin. Each the boundary layer is a narrow domain characterized by sharp, growing in time, vertical gradients of buoyancy and horizontal velocity. As in [7], the near interface boundary layer arises as a result of free linear evolution of rather general initial fields. An asymptotic solution describing the long-term evolution is presented and compared to exact solution; the asymptotic solution approximates the exact one fairly well even on not very large times.

Keywords: wave boundary layers, internal waves, stable-neutral stratification